

n⁺-AZO/p-BaSi₂太陽電池におけるZn_{1-x}Ge_xO界面層の検討

Effect of Zn_{1-x}Ge_xO interlayer on n⁺-AZO/p-BaSi₂ heterojunction solar cells

筑波大¹, 高エネ研² 山下 雄大¹, 北村 未歩², 堀場 弘司², 都甲 薫¹, 末益 崇¹

Univ. Tsukuba¹, KEK², ¹Yudai Yamashita¹, Miho Kitamura², Koji Horiba², Kaoru Toko¹, Takashi Suemasu¹

E-mail: bk201311068@s.bk.tsukuba.ac.jp

【背景】BaSi₂は豊富な元素で構成される半導体でありながら、光吸収係数($3 \times 10^4 \text{ cm}^{-1}$ @ 1.5 eV)と少数キャリア拡散長(10 μm)がどちらも大きく、禁制帯幅(1.3 eV)も太陽電池に適しているため、新規薄膜太陽電池材料として注目している¹⁾。これまでの研究で、Al-doped n⁺-ZnO(AZO)/p-BaSi₂ヘテロ接合太陽電池についてシミュレーションをベースに設計し、太陽電池動作を初めて実証した^{2,3)}。しかし、開放電圧は0.1 Vと小さかった。これは、ZnO/BaSi₂界面のバンド不連続が大きいことに起因して、光生成キャリアが界面に蓄積し、再結合が生じたためと考えられる(Fig. 1(c))。したがって、伝導帶オフセットが小さい界面層を挿入し、電子とホールを空間分離することで、再結合割合を劇的に低減できると考えた(Fig. 1(d))。また、酸化膜により BaSi₂膜表面が不活性化することが知られている⁴⁾。そこで本研究では、このような界面層として、Zn_{1-x}Ge_xO(ZGO)を選んだ。ZGOの電子親和力 $q\chi$ はGe組成を変えることで BaSi₂と同じ 3.2 eV に制御可能であることが実証されており、上記効果が期待できる⁵⁾。

【実験手法】MBE装置を用いて、Fig. 2に示すように p⁺-Si(111)基板($\rho < 0.01 \Omega\text{cm}$)上に B-doped BaSi₂(ホール密度 $9 \times 10^{16} \text{ cm}^{-3}$)を 50 nm エピタキシャル成長した。その後、in situ で ZGOを 1–5 nm スパッタ法で加熱堆積した。 $q\chi$ を BaSi₂と同等にするため、Ge組成 x を 0.36とした。本研究では太陽電池作製の前段階として、ZGO膜の禁制帯幅を分光感度測定で評価した。

【結果・考察】Fig. 3(a,b)に、光学顕微鏡による表面観察像を示す。ZGOの膜厚が 1 nm のとき、三角形の表面模様がみられ、全面が被覆できていないことがわかる。一方、1.5 nm 以上堆積した場合には、十分に平坦な膜が全面に被覆できた。次に、分光感度測定を用いて ZGO膜の直接吸収端を測定した。Fig. 3(c)に示す通り、禁制帯幅が約 3.8 eV であることが分かった。ここから算出される Ge組成比 x は約 0.33 であり、計画していた値 0.36 に近い。今後、ZGO/BaSi₂界面のバンドアライメントを KEK-PF BL-2A 軟X線光電子分光法(SXPES)で評価する。

- 1) T. Suemasu and N. Usami, J. Phys. D: Appl. Phys. **50**, 023001 (2017).
- 2) Y. Yamashita *et al.*, JSAP Autumn Meeting 11p-Z01-6 (2020).
- 3) Y. Yamashita *et al.*, submitted.
- 4) R. Takabe *et al.*, J. Appl. Phys. **119**, 025306 (2016).
- 5) T. Minami *et al.*, Appl. Phys. Express **9**, 052301 (2016).

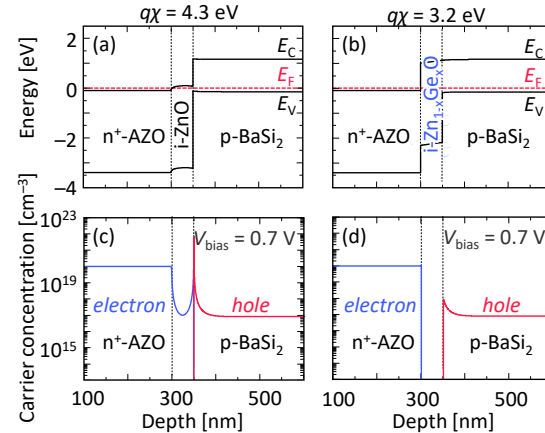


Fig. 1 Simulated (a,b) band alignment and (c,d) depth profiles of carrier concentration of n⁺-AZO/buffer/p-BaSi₂ under bias voltage of 0.7 V. $q\chi$ of buffer layer is set to 4.3 and 3.2 eV.

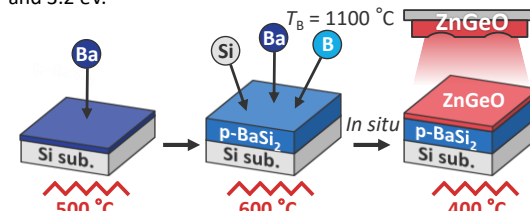


Fig. 2 Schematic of sample preparation procedure. After two step growth of BaSi₂ by MBE, ZGO was in situ sputtered.

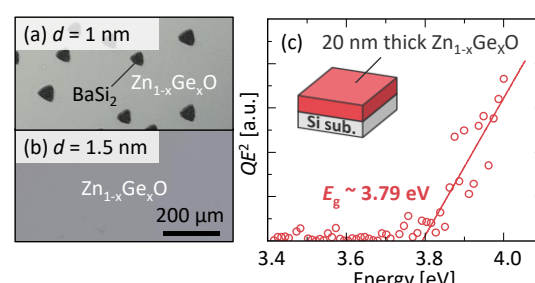


Fig. 3 Optical microscopy observation of (a) 1-nm, (b) 1.5-nm-thick Zn_{1-x}Ge_xO on p-BaSi₂. (c) Dependence of square of the photocurrent per incident photon on photon energy for Zn_{1-x}Ge_xO.